

УДК 621.371:534.8:535.42

И. Н. Кушнарев, С. Н. Шарангович
(Томск)

**ДИФРАКЦИЯ СВЕТОВЫХ ПУЧКОВ НА УЛЬТРАЗВУКЕ
В ОПТИЧЕСКИ НЕОДНОРОДНЫХ ИЗОТРОПНЫХ СРЕДАХ
И КУБИЧЕСКИХ КРИСТАЛЛАХ**

Разработана теоретическая модель сильного брэгговского акустооптического взаимодействия световых пучков в изотропных средах и кубических кристаллах в условиях температурно-наведенных оптических неоднородностей. Получены аналитические решения уравнений связанных волн для линейно-неоднородного распределения температурного поля. Определены поляризационные параметры световых пучков в дифракционных порядках. Показано, что термонеоднородности среды при больших эффективностях дифракции приводят к неоднородности поляризационных параметров — азимута и эллиптичности по апертурам световых пучков.

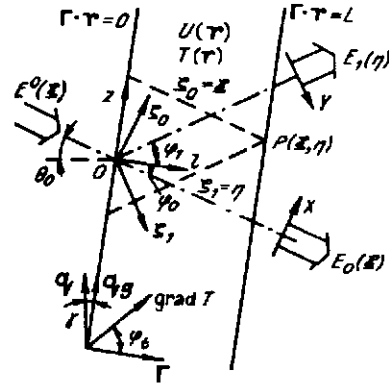
Введение. Акустооптические (АО) методы управления энергетическими и поляризационными параметрами светового излучения, основанные на явлении дифракции света на ультразвуке в оптически однородных, изотропных средах и в кубических кристаллах, достаточно подробно изучены для моделей как сильного, так и слабого АО-взаимодействия (АОВ) однородных и неоднородных полей [1—4]. Однако данные модели мало пригодны для описания поляризационных явлений в изотропных средах с температурно-наведенными оптическими неоднородностями, которые характерны для АО-устройств, работающих при больших эффективностях дифракции [5—7]. В существующих методах расчета АОВ, использующих модели линейно-неоднородных сред, рассмотрение проводилось в предположении небольших эффективностей дифракции [5—9], ограничено численным интегрированием [10] и не учитывало поляризационных эффектов.

Настоящая работа посвящена разработке более общей модели брэгговской дифракции ограниченных световых пучков на слаборасходящихся ультразвуковых волнах в температурно-возмущенных, линейно-неоднородных, оптически изотропных средах и кубических кристаллах, позволяющей описывать изменение амплитудно-фазовой и поляризационной структуры дифракционного поля при сильном АОВ и произвольной ориентации градиента температурного поля.

Общие соотношения. Рассмотрим брэгговское акустооптическое взаимодействие световых пучков E_0 , E_1 в поле монохроматического звукового пучка $U(r, t)$, распространяющегося в направлении волновой нормали q в прозрачном, кубическом кристалле, в котором создано, например, из-за тепловыделения в пьезопреобразователе регулярное, пространственно-неоднородное температурное поле $T(r)$.

Геометрия АОВ показана на рис. 1. Область АОВ ограничена параллельными плоскостями $\Gamma \cdot r = 0$ и $\Gamma \cdot r = L$, совпадающими с границами слаборасходящегося пучка $U(r)$ с лучевой нормалью q_r , которая в общем случае может быть наклонена к нормали q на угол γ , причем $\Gamma \cdot q_r = 0$.

Рис. 1. Геометрия дифракции и координатные системы



Распределение температурного поля $T(r)$ в области АОВ в первом приближении аппроксимируем линейной функцией

$$T(r) = T(r=0) + r \cdot \text{grad}T(r)|_{r=0}, \quad (1)$$

где $r = \Gamma + zq_s$ — радиус-вектор; $T(r=0) = T_0$ — средняя температура кристалла.

Возмущения диэлектрической проницаемости среды $\hat{\epsilon}$ под действием полей $U(r, t)$ и $T(r)$ соответственно на величины $\Delta\hat{\epsilon}_s$ и $\Delta\hat{\epsilon}_t$ будем считать малыми по сравнению с $\hat{\epsilon}_0$ и представим в линейном приближении

$$\hat{\epsilon}(r, t) = \hat{\epsilon}_0 + \Delta\hat{\epsilon}_s(r, t) + \Delta\hat{\epsilon}_t(r). \quad (2)$$

Здесь $\hat{\epsilon}_0 = n^2 \hat{I}$, n — показатель преломления при температуре T_0 , \hat{I} — единичный тензор второго ранга,

$$\Delta\hat{\epsilon}_s(r, t) = 1/2[\Delta\hat{\epsilon}U_m(r)\exp[i(\Omega_0 t - K_0 \cdot r)] + \text{к.с.}], \quad (3)$$

где $K_0 = q\Omega_0/v$; Ω_0 , v , $U_m(r)$ — центральная частота, скорость и распределение амплитуды $U(r, t)$; $\Delta\hat{\epsilon}$ — величина возмущения ϵ_0 в поле U единичной амплитуды при температуре T_0 [1].

$$\Delta\hat{\epsilon}_t(r) = 2n \frac{dn}{dT} \Big|_{T=T_0} \Delta T(r) \hat{I} \quad (4)$$

— $\Delta T(r) = r \cdot \text{grad}T(r)|_{r=0}$ — пространственное распределение температурного поля в области АОВ.

Падающий на область АОВ световой пучок $E^0(r, t)$ с произвольной поляризацией представим в виде квазиплоской волны:

$$E^0(r, t) = 1/2\{e_0 E^0(r)\exp[i(\omega_0 t - k_0 \cdot r)] + \text{к.с.}\}, \quad (5)$$

где ω_0 , e_0 , $E^0(r)$ — частота, комплексный вектор поляризации и распределение амплитуды на плоскости $\Gamma \cdot r = 0$ по координате $z = \Gamma \cdot r$.

Световое поле в области АОВ, являющейся в отношении оптических свойств пространственно неоднородной, представим в виде суммы локально-плоских неоднородных пучков нулевого E_0 и первого E_1 дифракционных порядков:

$$E(r, t) = 1/2 \left\{ \sum_{j=0}^1 \sum_{k=1}^2 e_j^k E_j^k(r) \exp[i(\omega_j t - \int k_j(r) dr)] + \text{к.с.} \right\}, \quad (6)$$

где пространственная зависимость волновых векторов $k_j(r)$ обусловлена неоднородностью оптических свойств среды; каждый пучок представлен разложением на две линейно-поляризованные составляющие с амплитудами E_j^k в соответствующих ортонормированных базисах (e_1^j, e_2^j, N_j) , образованных волновыми нормальными N_j и единичными, взаимно ортогональными векторами e_1^j, e_2^j , которые произвольно ориентированы в плоскостях поляризации $N_j \cdot r = \text{const}$ пучков E_j .

Для упрощения дальнейших вычислений ориентацию базисных векторов e_1^j, e_2^j естественно связать с поляризацией собственных ортогонально поляризованных типов дифракции, определяемой анизотропией оптических свойств среды АОВ, наведенной акустическим пучком, т. е. анизотропией тензора $\Delta\epsilon_a$. Формально процедура определения направлений e_1^j, e_2^j в данном случае сводится к отысканию собственных векторов планальных тензоров ($i, j = 0, 1$) [3, 4]:

$$\Delta\hat{\epsilon}_j = (\hat{I} - N_j N_j) \Delta\hat{\epsilon}_a (\hat{I} - N_j N_j) \Delta\hat{\epsilon}_a (\hat{I} - N_j N_j) \quad (j \neq i), \quad (7)$$

т. е. к решению уравнений $\Delta\hat{\epsilon}_j e_k^j = \lambda_k e_k^j$. При такой ориентации векторов e_1^j, e_2^j , как показано в [3, 4], АОВ компонент $E_j \cdot e_1^j$ и $E_j \cdot e_2^j$ световых пучков происходит независимо друг от друга и характеризуется экстремальными значениями АО-связи, связанными с собственными числами $\lambda_k = e_k^j \Delta\hat{\epsilon}_j e_k^j$.

Эволюция комплексных амплитуд данных компонент $E_j^k(r)$ описывается в рамках геометрооптического приближения двумерной брэгговской дифракции следующими двумя независимыми системами дифференциальных уравнений ($k = 1; 2$):

$$\begin{aligned} \nu_0 \frac{\partial}{\partial l} E_0^k(l, z) + \eta_0 \frac{\partial}{\partial z} E_0^k(l, z) &= -i C_k U_m^*(l, z) E_1^k(l, z) \exp[i \int \Delta K(r) dr], \\ \nu_1 \frac{\partial}{\partial l} E_1^k(l, z) + \eta_1 \frac{\partial}{\partial z} E_1^k(l, z) &= -i C_k U_m(l, z) E_0^k(l, z) \exp[-i \int \Delta K(r) dr], \end{aligned} \quad (8)$$

где l, z — координаты вдоль составляющих $r = l\Gamma + z\mathbf{g}$, в плоскости дифракции;

$$\Delta K(r) = k_0(r) - k_1(r) + K_0 = \Delta K(l, z)\Gamma \quad (9)$$

— локальный вектор фазовой расстройки; $C_k = k_0(e_1^k \Delta\hat{\epsilon}_a e_1^k) / 4n = k_0 \lambda_k / 4n$ — коэффициенты, характеризующие минимальное ($k = 1$) и максимальное ($k = 2$) значения АО-связи, где параметры $\lambda_k = (e_1^k \Delta\hat{\epsilon}_a e_1^k)$ связаны с собственными числами тензоров $\Delta\hat{\epsilon}_j$ (7): $|\lambda_k| = \bar{\lambda}_k^{0.5} = [e_1^k \Delta\hat{\epsilon}_j e_1^k]^{0.5}$; k_0 — волновое число света в вакууме; $\nu_j = \cos\varphi_j$, $\eta_j = \pm \sin\varphi_j$, $\varphi_j = \Theta_0 \pm \gamma$ — углы между нормальными N_j и Γ , где знак $+(-)$ в геометрии дифракции рис. 1 соответствует $j = 1(0)$; Θ_0 — угол падения.

Полученную систему уравнений (8) необходимо дополнить граничными условиями для взаимодействующих световых полей:

$$E_0^k(l=0, z) = E_k(z), \quad E_1^k(l=0, z) = 0, \quad (10)$$

где $E_k(z) = (e_0 \cdot e_k^0) E^0(z)$ — составляющие пучка E^0 вдоль e_k^0 ($k = 1; 2$). Решения E_j^1 и E_j^2 системы (8), являющиеся проекциями комплексных векторных амплитуд E_j на оси e_1^j и e_2^j , полностью определяют изменения в состоянии поляризации пучков E_j при АОВ [3].

Аналитические решения. Для определения влияния оптической неоднородности (4) на амплитудно-фазовые и поляризационные распределения пучков E_j в условиях сильного АОВ допустим, что пучок U имеет однородное распределение $U(l, z) = U_0$ при $0 < l < L$, где U_0 — амплитуда. Тогда согласно (8) характер энергообмена между составляющими E_j^k пучков E_j определяется значениями C_k и пространственной зависимостью $\Delta K(l, z)$ в области АОВ.

Для установления вида функции $\Delta K(l, z)$ в линейно-неоднородной среде (4) воспользуемся ввиду малости $\Delta\epsilon_i \ll \epsilon_0$ разложением входящих в (9) векторных функций $k_j(r) = k_0 n(r) N_j(r)$ в ряд Тейлора [12]:

$$k_j(r) = k_j^* + \left. \frac{dk_j}{dr} \right|_{r=0} \cdot r = k_j^* + k_0 N_j^* \left[\left. \frac{dn}{dr} \right|_{r=0} \cdot r \right] + k_0 n^* \left[\left. \frac{dN_j}{dr} \right|_{r=0} \cdot r \right],$$

где индексом * помечены величины, взятые при $r = 0$; второй член характеризует изменение волнового вектора по модулю, а третий — по направлению, причем

$$\frac{dn}{dr} r = \frac{dn}{dT} \text{grad} T \cdot r, \quad \frac{dN_j}{dr} \cdot r = \frac{dn}{dT} \frac{|N_j \times \text{grad} T|}{n^*} \frac{(\Gamma \cdot r)}{(\Gamma \cdot N_j^*)} m_j,$$

m_j — единичный вектор, лежащий в плоскости дифракции и ортогональный N_j^* . Подставляя данное разложение в (9) и умножая полученное векторное уравнение скалярно на Γ , найдем с учетом геометрии дифракции рис. 1 искомую зависимость $\Delta K(l, z)$ в области АОВ:

$$\Delta K(l, z) = \Delta K' + sz + tl. \quad (11)$$

Здесь $\Delta K' = (k_0^* - k_1^* + K_0) \cdot \Gamma$ — начальная фазовая расстройка, вызванная отклонением угла падения Θ_0 от угла Брэгга $\Theta_B \approx \frac{\lambda_0 f_0}{2vn}$ и частоты ультразвука f от $f_0 = \Omega_0/2\pi$:

$$\Delta K' = \frac{k_0 n \sin 2\Theta_B}{\cos(\Theta_B - \gamma)} (\Theta_0 - \Theta_B) + \frac{2\pi \sin \Theta_B}{v \cos(\Theta_B - \gamma)} (f - f_0),$$

а коэффициенты

$$s = 2k_0 \delta n \sin \gamma \sin \Theta_0 \sin \varphi_i |\text{grad} T|,$$

$$t = k_0 \delta n [2 \sin \gamma \sin \Theta_0 \cos \varphi_i + \text{tg}(\Theta_0 - \gamma) \sin(\varphi_i - \Theta_0 + \gamma) - \text{tg}(\Theta_0 + \gamma) \sin(\varphi_i - \Theta_0 - \gamma)] |\text{grad} T|$$

определяют влияние направления, характеризуемого углом φ_i (см. рис. 1), и величины $\text{grad} T$; $\delta n = \left. \frac{dn}{dT} \right|_{T=T_0}$.

В зависимости от ориентации $\text{grad} T$ в области АОВ будем выделять случаи поперечно ($\varphi_i = 90^\circ$), смешанно ($0 < \varphi_i < 90^\circ$) и продольно-неоднородной ($\varphi_i = 0$) среды. В общем случае при $\gamma \neq 0$ геометрия АОВ несимметрична (см. рис. 1) и коэффициенты $t, s \neq 0$ соответственно характеризуют влияние продольной и поперечной составляющих $\text{grad} T$ на АОВ. Если же рассматривается симметричная геометрия АОВ ($\gamma = 0$), то при $\varphi_i = 0$ имеем $s, t = 0$. Если же $\varphi_i = 90^\circ$, получим $s = 0$ и $t = -2k_0 \delta n \sin \theta_0 |\text{grad} T|$, т. е. для данного случая вариация параметра t в полученных ниже решениях будет описывать АОВ в поперечно-неоднородной среде.

Далее, подставляя (9), (11) в (8) и выполнив интегрирование

$$\int \Delta K(r) dr = \int \Delta K(l, z) \Gamma (\Gamma dl + q_0 dz) = \int \Delta K(l, z) dl = \Delta K' l + slz + tl^2/2,$$

сделаем в системе (8) замену переменных

$$E_j^*(l, z) = B_j(l, z) \exp[-i\Delta K'(z - \eta_j l / v_j) / (\eta_0 / v_0 - \eta_1 / v_1)] \quad (12)$$

и перейдем в апертурную координатную систему (ξ_0, ξ_1)

$$\xi_0 = -\eta_0 l + v_0 z, \quad \xi_1 = \eta_1 l - v_1 z, \quad (13)$$

координаты ξ_j , которой отсчитываются вдоль осей, перпендикулярных нормальям N_j пучков E_j , и показаны на рис. 1. В результате система (8) приводится к

каноническому виду, допускающему в рассматриваемом случае аналитическое решение:

$$i \frac{\partial B_1(\xi_0, \xi_1)}{\partial \xi_0} = \sigma U(\xi_0, \xi_1) B_0(\xi_0, \xi_1), \quad (14)$$

$$i \frac{\partial B_0(\xi_0, \xi_1)}{\partial \xi_1} = \sigma U^*(\xi_0, \xi_1) B_1(\xi_0, \xi_1).$$

Здесь

$$\sigma = U_0 C_k / (\nu_0 \eta_1 - \nu_1 \eta_0),$$

$$U(\xi_0, \xi_1) = \exp[-j\{s(\xi_0 \eta_1 + \xi_1 \eta_0)(\xi_0 \nu_1 + \xi_1 \nu_0) + \frac{k}{2} (\xi_0 \nu_1 + \xi_1 \nu_0)^2\} (\nu_0 \eta_1 - \nu_1 \eta_0)^{-2}].$$

Соответственно граничные условия (10) для системы (14) с учетом (12), (13) задаются теперь на кривой $C \left(\xi_0 = -\frac{\nu_0}{\nu_1} \xi_1 \right)$ в виде

$$B_1|_C = 0, \quad \frac{\partial B_1}{\partial \xi_0}|_C = -i \sigma E_k \left(\frac{\xi_0}{\nu_0} \right) \exp \left[i \frac{\Delta K' \xi_0 / \nu_0}{\eta_0 / \nu_0 - \eta_1 / \nu_1} \right] \quad (15a)$$

и

$$B_0|_C = E_k \left(\frac{\xi_0}{\nu_0} \right) \exp \left[i \frac{\Delta K' \xi_0 / \nu_0}{\eta_0 / \nu_0 - \eta_1 / \nu_1} \right], \quad \frac{\partial B_0}{\partial \xi_1}|_C = 0. \quad (15b)$$

Решения системы (14) найдем, воспользовавшись методом Римана [14]. В результате с учетом (12), (13) амплитудно-фазовые распределения E_j^k на выходной границе области АОВ ($\Gamma \cdot r = l = L$), задаваемой уравнением $\xi = 2\delta - \frac{\nu_0}{\nu_1} \eta$, где (ξ, η) — координаты точки P , через которую проходят характеристики уравнений (14) $\xi_1 = \eta$, $\xi_0 = \xi$ (см. рис. 1), определяются следующими формулами в первом дифракционном порядке ($k = 1, 2$):

$$E_1^k(\eta) = -i \frac{C_k U_0 l}{2\nu_1} \int_{-1}^{+1} E_k \left[\frac{\delta(1-y)}{\nu_0} - \frac{\eta}{\nu_1} \right] \exp[\delta m(1-y) + \delta^2 n(1-y)^2] \times \\ \times \Phi \left(\frac{d}{a}, 1; a \delta^2 \frac{\nu_1}{\nu_0} (1-y)^2 \right) dy, \quad (16)$$

где

$$\delta = \left[\frac{\nu_0 \eta_1 - \nu_1 \eta_0}{\nu_1} \right] \frac{l}{2}; \quad m = \eta \left(-a + \frac{\nu_1}{\nu_0} b \right) - i \frac{\Delta K' l}{2\delta}; \quad n = \frac{\nu_1}{\nu_0} \left(a - \frac{\nu_1 b}{\nu_0} \right); \\ a = -i \frac{s(\eta_1 \nu_0 + \eta_0 \nu_1) + \nu_1 \nu_0}{(\nu_0 \eta_1 - \nu_1 \eta_0)^2}; \quad b = -i \frac{2s\eta_0 \nu_0 + \nu_0^2}{(\nu_0 \eta_1 - \nu_1 \eta_0)^2}; \quad d = -\sigma^2,$$

и в нулевом дифракционном порядке ($k = 1, 2$):

$$E_0^k(\xi) = E_k(\xi) - \frac{C_k^2 U_0^2 l^2}{4\nu_1 \nu_0} \int_{-1}^{+1} (1+y) E_k \left[\frac{\xi - \delta(1-y)}{\nu_0} \right] \times \\ \times \exp[\delta m(1-y) + \delta^2 n(1-y)^2] \Phi \left(\frac{d}{b'}, 1, 2; b' \delta^2 \frac{\nu_1}{\nu_0} (1-y)^2 \right) dy, \quad (17)$$

где

$$m = \xi \left(\frac{a'}{2} - \frac{\nu_1}{\nu_0} b' \right) + \frac{i \Delta K' l}{2\delta}; \quad n = b' \frac{\nu_1}{\nu_0} - \frac{a'}{2}; \quad a' = i \frac{2s\eta_1\nu_1 + \nu_1^2}{(\nu_0\eta_1 - \nu_1\eta_0)^2};$$

$$b' = i \frac{s(\eta_1\nu_0 + \eta_0\nu_1) + \nu_1\nu_0}{(\nu_0\eta_1 - \nu_1\eta_0)^2};$$

$\Phi(a, c; z)$ — вырожденная гипергеометрическая функция первого рода [13].
С помощью полученных решений (16), (17) найдем пространственные распределения интенсивности в дифракционных порядках

$$I_j(\xi, \eta) = |E_j^1(\xi, \eta)|^2 + |E_j^2(\xi, \eta)|^2, \quad (18)$$

а также поляризационных параметров — азимута κ_j и эллиптичности p_j по формулам (П4).

Выражения (16)–(18), (П4) описывают изменения в пространственных распределениях интенсивностей, амплитуд, фаз и поляризаций пучков E_j в условиях сильного АОВ и применимы для произвольных значений АО-связи, величины и ориентации $\text{grad}T$ в области АОВ, а также входных распределений $E^0(r)$. При отсутствии термонеоднородности среды ($\text{grad}T = 0$) и фазовом синхронизме ($\Delta K' = 0$) (16), (17) переходят в выражения для двумерной брэгговской дифракции [11, 2].

Из общего вида полученных решений (16), (17) и (П4) следует, что в общем случае, когда $\lambda_1 \neq \lambda_2$ и $\text{grad}T \neq 0$, оптическая неоднородность среды при сильном АОВ будет приводить к неоднородности пространственных распределений поляризационных параметров κ_j, p_j по апертурам пучков E_j . Это обусловлено различной степенью изменения амплитудно-фазовых распределений $E_j^1(\xi_j), E_j^2(\xi_j)$ при вариации амплитуды и частоты звука, угла падения света в условиях температурных градиентов, т. е. $U_0, \Delta K'$ и $\text{grad}T$.

Результаты численного моделирования. Более детальное исследование динамики изменения поляризаций пучков E_j при сильном АОВ проведем, основываясь на результатах численных расчетов в обобщенных параметрах $g^*, b^*, s^*, t^*, \Delta K^*$ по формулам (П2), (П3), полученных из (16), (17), причем $b^* = b_1^* = b_2^* \lambda_1 / \lambda_2$. В расчетах полагалось, что пучок E^0 , расходимость которого меньше расходимости звукового пучка ($g^* = 0,5$), имеет гауссово распределение (П1) ($E^0 = 1$), линейную поляризацию с азимутом φ и падает в плоскости (110) на продольную ультразвуковую волну, распространяющуюся в кристалле Ge в направлении [110], при этом $\lambda_2 / \lambda_1 = 0,32$. Углы $\Delta \kappa_j = \kappa_j - \varphi$ на рис. 2–4 характеризуют поворот, а знак p_j — направление вращения эллипсов поляризации пучков E_j .

На рис. 2 представлены распределения $I_1(Y), \Delta \kappa_1(Y), p_1(Y)$ по сечению дифрагированного в 1-й порядок светового пучка в условиях продольной термонеоднородности ($s^* \neq 0, t^* \neq 0$) и сильной АО-связи. Термонеоднородность среды начинает сказываться при $t^* \geq 1,5$. Как видно из рис. 2, а, с ростом t^* наблюдается снижение эффективности дифракции и смещение центра распределения $I_1(Y)$. При этом величина смещения очень слабо зависит от степени АО-связи b^* и изменения в гауссовой структуре $I_1(Y)$ незначительны. Более существенны изменения в поляризационной структуре пучка E_1 . Как видно из рис. 2, б, с, термонеоднородность среды в условиях сильной АО-связи приводит к эллиптической поляризации и неоднородности распределений $\Delta \kappa_1(Y), p_1(Y)$. В области значений $b^* < 1,5$ в пределах апертуры пучка E_1 максимальное изменение $\Delta \kappa_1$ и p_1 не превышает соответственно $1,5^\circ$ и $0,05$. С возрастанием АО-связи $1,5 < b^* < 3,5$ для величин $t^* \approx 1,5$ наблюдается увеличение поворота азимута $\Delta \kappa_1$, эллиптичности p_1 и степени их пространственной неоднород-

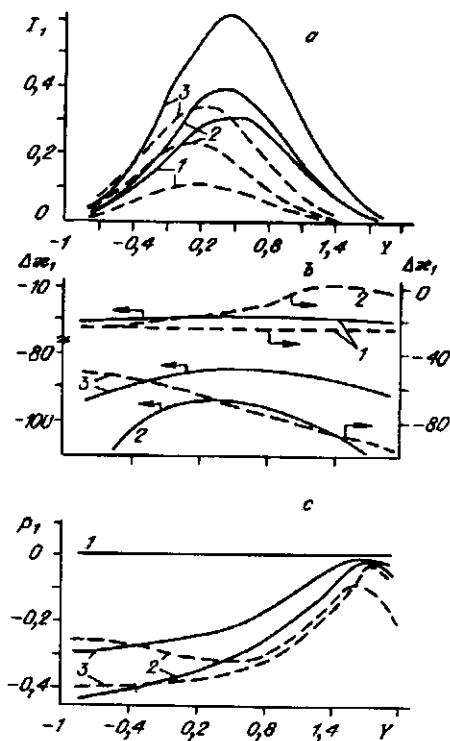


Рис. 2. Распределения интенсивности I_1 (a), изменения азимута $\Delta\kappa_1$ (b) и эллиптичности p_1 (c) по апертурной координате Y в 1-м дифракционном порядке при различных параметрах продольной термонеоднородности t^* (сплошные кривые — 1,5; штриховые — 3) и АО-связи b^* (кривые 1 — 1,5; 2 — 3,5; 3 — 5) для $\varphi = 45^\circ$, $s^* = 0$

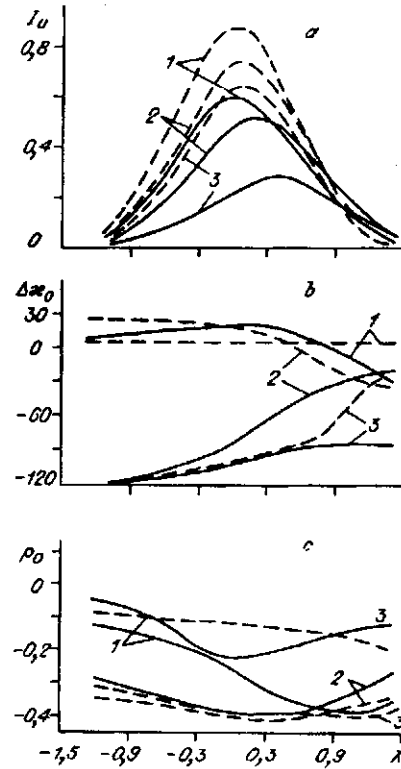


Рис. 3. Распределения интенсивности I_0 (a), изменения азимута $\Delta\kappa_0$ (b) и эллиптичности p_0 (c) по апертурной координате X в 0-м дифракционном порядке при различных параметрах продольной термонеоднородности t^* (сплошные кривые — 1,5; штриховые — 3) и АО-связи b^* (кривые 1 — 1,5; 2 — 3,5; 3 — 5) для $\varphi = 45^\circ$, $s^* = 0$

ности. При этом распределение $\Delta\kappa_1(Y)$ симметрично относительно оси пучка E_1 , а $p_1(Y)$ асимметрично. Дальнейшее увеличение АО-связи $3,5 < b^* < 5$ приводит к уменьшению поворота азимута $\Delta\kappa_1$, эллиптичности p_1 и их изменению по апертуре. Возрастание термонеоднородности (рис. 2, b, c — штриховые кривые) в большей степени влияет на распределение поворота азимута $\Delta\kappa_1(Y)$, приводя к его асимметрии, и в меньшей — на эллиптичность $p_1(Y)$. Как следует из расчета и рис. 2, максимальные значения пространственной неоднородности распределений поляризационных параметров $\Delta\kappa_1(Y)$, $p_1(Y)$ при изменении АО-связи b^* и параметра термонеоднородности t^* в пределах $1 < b^* < 5$, $1 < t^* < 3$ составляют соответственно $10 + 25^\circ$, $0,1 + 0,4$.

Влияние продольной термонеоднородности на параметры светового пучка в 0-м дифракционном порядке показано на рис. 3. Из рис. 3, a видно, что с ростом t^* наблюдается уменьшение смещения центра распределения $I_0(X)$, происходящее при повышении АО-связи b^* , а также скорости перекачки энергии из 0-го в 1-й порядок. Абсолютное значение эллиптичности $|p_0|$ при небольших термонеоднородностях $t^* \leq 1,5$ с ростом величины АО-связи b^* сначала возрастает до 0,4 (кривые 1, 2, рис. 3), а затем падает (кривая 3). Максимальная неоднородность $p_0(X)$ по апертуре пучка E_0 достигается при $b^* = 1,5$ и равна $= 0,25$. При значительной термонеоднородности ($t^* \geq 3$), как

видно из рис. 3, *b*, изменение $p_0(X)$ по сечению пучка E_0 выражено менее сильно ($\Delta p_0 \leq 0,1$). С ростом АО-связи $2 < b^* < 5$ эллиптичность максимальна и близка к $p_0 = 0,4$ для центральной части пучка E_0 и уменьшается для периферийных частей (кривые 2, 3, рис. 3). Пространственные распределения поворота азимута $\Delta\kappa_0(X)$, представленные на рис. 3, *b*, в сравнении с соответствующими распределениями $\Delta\kappa_1(Y)$ обладают существенно большей неоднородностью, достигающей $60 + 80^\circ$ в пределах апертуры пучка E_0 при $t^* > 1,5$ и $b^* > 1,5$ (кривые 2, рис. 3).

Отметим, что приведенные зависимости и их анализ можно распространить на АОВ в поперечно-неоднородной среде ($\varphi_i = 90^\circ$) в условиях симметричной геометрии дифракции ($\gamma = 0^\circ$), так как $s = 0$, а $t = -2k_0 \delta n \times \sin \Theta_0 |\text{grad} T|$. Оценка для кристалла Ge при $\lambda = 10,6$ мкм, $L = 20$ мм, $\Theta_0 = 3^\circ$, $dn/dT = 4 \cdot 10^{-4} \frac{1}{^\circ\text{C}}$ показывает, что в данном случае области изменения параметра $t^* \approx 1 + 3$ соответствуют значения поперечного температурного градиента $dT/dz \approx 0,2 + 2$ град/мм, характерные на практике для эффективных АО-ячеек среднего ИК-диапазона.

Для общего случая АОВ в поперечно-неоднородной среде, когда $\gamma \neq 0$, $s^* > 1$ и $t^* < 1$, результаты расчета представлены на рис. 4, 5. Из рис. 4 видно, что поперечная термонеоднородность среды приводит к ограничению апертуры $2Y_{0,5}$ дифрагированного пучка E_1 , отсчитываемой по уровню 3 дБ, и снижению эффективности дифракционного процесса, что обусловлено локализацией области эффективного энергообмена по поперечной координате z (см. рис. 1). Расчет показывает, что уменьшение апертуры с ростом s^* для $b^* \approx 1,5$ можно аппроксимировать линейной зависимостью $2Y_{0,5} = 0,885 - 0,0575s^*$, причем с повышением АО-связи в области $1,5 < b^* < 5$ скорость изменения $d(2Y_{0,5})/ds^*$ увеличивается на 8%. Снижение интенсивности I_1 в центре

пучка E_1 при $2 < s^* < 10$ составляет $\approx 16\%$ для $b^* = 1,6$ и $\approx 8\%$ для $b^* = 5,1$, т. е. уменьшается с ростом АО-связи. Соответствующие распределения поляризационных параметров $p_1(Y)$, $\Delta\kappa_1(Y)$ представлены на рис. 4, *b*, *c*. Отметим основные закономерности в изменении состояния поляризации пучка E_1 в условиях сильного АОВ и поперечной термонеоднородности: поляризация становится эллиптической; распределения $p_1(Y)$, $\Delta\kappa_1(Y)$ неоднородны по сечению пучка E_1 и в отличие от подобных зависимостей на рис. 2, *b*, *c* сохраняют симметричную структуру при изменении АО-связи b^* и параметра термонеоднородности s^* ; наибольшие изменения $\Delta\kappa_1$, p_1 наблюдаются для периферийных

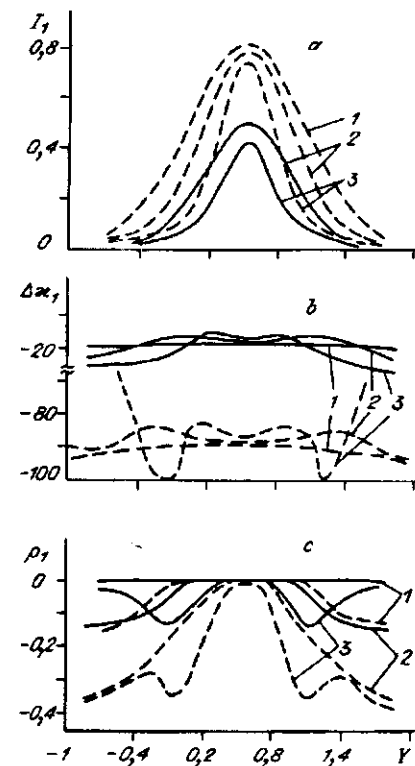


Рис. 4. Распределения интенсивности I_1 (*a*), изменения азимута $\Delta\kappa_1$ (*b*) и эллиптичности p_1 (*c*) по апертурной координате Y в 1-м дифракционном порядке при различных параметрах поперечной термонеоднородности s^* (кривые 1 — 2; 2 — 5; 3 — 10) и АО-связи b^* (сплошные кривые — 1,6; штриховые — 5,1) для $\varphi = 45^\circ$, $t^* = 0,5$

областей пучка E_1 , а поляризация приосевой части $E_1(Y)$ остается практически линейной. С ростом параметра s^* на оси пучка E_1 поворот азимута $\Delta\kappa_1$ уменьшается, а в периферийных участках возрастает (кривые 1—3, рис. 4, а, б). Неоднородность распределения $\Delta\kappa_1(Y)$ увеличивается при повышении АО-связи и для $s^* = 2 + 10$ при $b^* = 1,5 + 5$ составляет $10 + 30^\circ$. Максимальное изменение эллиптичности p_1 наблюдается для тех участков распределения $I_1(Y)$, где $\left| \frac{dI_1(Y)}{dY} \right| \rightarrow \text{шах}$ (см. кривые 3, рис. 4, а, с), возрастает с повышением АО-связи b^* и достигает $\delta p_1 \approx 0,3$ при $s^* \approx 10$, $b^* \approx 5$.

На рис. 5 приведены зависимости $I_0(X)$, $\Delta\kappa_0(X)$, $p_0(X)$ прошедшего светового пучка E_0 на выходе области АОВ для различных величин АО-связи b^* и параметра поперечной термонеоднородности s^* . Из рис. 5, а следует, что при $s^* \geq 2$ под влиянием поперечной термонеоднородности распределение $I_0(X)$ существенно трансформируется. Например, при $s^* \approx 10$ (кривая 3) термонеоднородность приводит к образованию двухпиковой структуры распределения $I_0(X)$, поляризация пиков является эллиптической, существенно неоднородной и различной (кривые 3, рис. 5, б, с). Это объясняется изменением эффективности АОВ и фазовых соотношений между составляющими E_0^k по поперечной координате за счет пространственной зависимости локальной фазовой расстройки $\Delta\bar{\kappa}(i, z)$, приводящей к сужению области эффективного АОВ. Изменение азимута поляризации $\Delta\kappa_0$, как следует из рис. 5, б, характеризуется максимальной неоднородностью для координат приосевой части падающего пучка E^0 , составляющей $30 + 90^\circ$ при $b^* = 1,5 + 5$ и уменьшающейся с ростом s^* . Распределение эллиптичности $p_0(X)$, наоборот, минимально

в данной области координат ($X = 0$) и достигает максимума $p_0 = 0,2 + 0,4$ вблизи локальных максимумов распределения интенсивности $I_0(X)$ (рис. 5, а, с, кривые 3). С ростом термонеоднородности наблюдается сжатие масштаба зависимости $p_0(X)$ при сохранении общего вида. Это обусловлено увеличением $\frac{d\Delta\kappa}{dz} \propto s^*$, что приводит к более быстрым по поперечной координате изменениям в амплитудно-фазовой структуре составляющих $E_0^k(X)$. При увеличении АО-связи эллиптичность возрастает для тех участков $I_0(X)$, где $dI_0(X)/db^* < 0$, и убывает, где $dI_0(X)/db^* > 0$ (см. кривые 2, рис. 5, а, с).

Таким образом, результаты аналитического и численного моделирования показывают, что температурно-

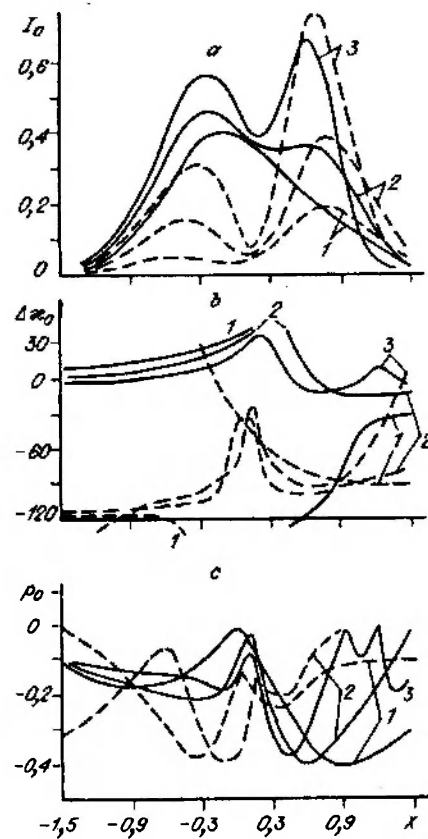


Рис. 5. Распределения интенсивности I_0 (а), изменения азимута $\Delta\kappa_0$ (б) и эллиптичности p_0 (с) по апертурной координате X в 0-м дифракционном порядке при различных параметрах поперечной термонеоднородности s^* (кривые 1 — 2; 2 — 5; 3 — 10) и АО-связи b^* (сплошные кривые — 1,6; штриховые — 5,1) для $\varphi = 45^\circ$, $t^* = 0,5$

наведенные оптические неоднородности при больших эффективностях дифракции приводят к существенным искажениям в амплитудной и поляризационной структурах дифракционного светового поля. Предложенная модель может быть использована при разработке и проектировании эффективных АО-модуляторов и дефлекторов с заданными требованиями на искажения амплитудно-фазовых и поляризационных характеристик.

ПРИЛОЖЕНИЕ

Допустим, для определенности, что падающий световой пучок E^0 является линейно-поляризованным и имеет гауссов амплитудный профиль:

$$E_k(\xi_0) = (e_0 \cdot e_k^0) E^0 \exp[-(\xi_0/W)^2], \quad (\text{П1})$$

где E^0 — амплитуда; W — ширина апертуры; $e_0 = e_1^0 \cos \varphi + e_2^0 \sin \varphi$; φ — азимут, отсчитываемый от оси e_1^0 . Тогда, выражая все величины в формулах (16), (17) через обобщенные параметры, характеризующие:

$$b_k^* = U_0 L C_k / \sqrt{\cos \varphi_1 \cos \varphi_0} = \frac{\pi}{\lambda_0} \sqrt{M_{2k} P_a L / 2H} \operatorname{sgn}(\lambda_k)$$

— величину АО-связи, где $M_{2k} = \frac{j_k^2}{n^2 \rho^{1/3} \cos \varphi}$ — экстремальные значения коэффициента АО-качества ($k = 1, 2$) [3, 4]; ρ — плотность кристалла; P_a — акустическая мощность; L, H — длина и ширина акустического пучка;

$$g^* = \frac{\sin(\varphi_1 + \varphi_0) L}{2c \cos \varphi_1 W}$$

— геометрию АОВ и отношение расходимостей пучков E^0 и U ; $s^* = sWL$ — поперечную составляющую $\operatorname{grad} T$; $t^* = [t/2]^{0.5} L$ — продольную составляющую $\operatorname{grad} T$; $\Delta K^* = \Delta K' L$ — начальную фазовую расстройку; $Y = \eta / W \cos \varphi_1$, $X = \xi / W \cos \varphi_0$ — нормированные апертурные координаты, получим выражения для распределений ортогональных составляющих световых полей в k -м дифракционном порядке ($k = 1, 2$):

$$E_1^k(Y) = -i0,5(e_0 \cdot e_k^0) E^0 b_k^* \int_{-1}^{+1} \exp[-(g^*(1-y) - Y)^2] \Phi(A, 1; C(1-y^2)) \times \\ \times \exp \left[i \left(-(1-y) \frac{\Delta K^* - Y t^*}{2} - (1-y)^2 \frac{t^{*2} + s^* g^*}{4} \right) \right] dy \quad (\text{П2})$$

— и в 0-м дифракционном порядке ($k = 1, 2$):

$$E_0^k(X) = \left\{ \exp[-X^2] - \frac{b_k^{*2}}{4} \int_{-1}^{+1} \exp[-(X - g^*(1-y))^2] \times \right. \\ \times \Phi(-A + 1, 2; -C(1-y^2))(1+y) \times \\ \left. \times \exp \left[i \left((1-y) \frac{\Delta K^* + X s^*}{2} + (1-y)^2 \frac{t^{*2} - s^* g^*}{4} \right) \right] dy \right\} (e_0 \cdot e_k^0) E^0, \quad (\text{П3})$$

где

$$A = \frac{-i}{2} b_k^{*2} \left[t^{*2} + s^* g^* \frac{\sin(\varphi_1 - \varphi_0)}{\sin(\varphi_1 + \varphi_0)} \right]^{-1}; \quad C = \frac{-i}{2} \left[t^{*2} + s^* g^* \frac{\sin(\varphi_1 - \varphi_0)}{\sin(\varphi_1 + \varphi_0)} \right];$$

$$\varphi_1 + \varphi_0 = \begin{cases} 2\Theta_0 & \text{при } \gamma \leq \Theta_0; \\ 2\gamma & \text{при } \gamma > \Theta_0; \end{cases} \quad \varphi_1 - \varphi_0 = \begin{cases} \pm 2\gamma & \text{при } \gamma \leq \Theta_0; \\ \pm 2\Theta_0 & \text{при } \gamma > \Theta_0, \end{cases}$$

причем знак « \pm » соответствует отклонению q_x от q вправо, а « \leftrightarrow » — влево. Соответствующие распределения азимутов κ_j , отсчитываемых от векторов e_j^i , и эллиптичности p_j определим по формулам [15]:

$$\operatorname{tg} 2\kappa_j = \frac{2\operatorname{Re}\mu}{1 - |\mu|^2}; \quad p_j^2 = \frac{1 - [1 + 4\operatorname{Im}^2\mu/(1 - |\mu|^2)^2]^{0.5}}{1 + [1 + 4\operatorname{Im}^2\mu/(1 - |\mu|^2)^2]^{0.5}}, \quad (\text{П4})$$

где $\mu = E_j^2/E_j^1$; значения E_j^k вычисляются из (16), (17), (П2), (П3).

СПИСОК ЛИТЕРАТУРЫ

1. Балакший В. И., Парыгин В. Н., Чирков Л. В. Физические основы акустооптики.—М.: Радио и связь, 1985.
2. Белый В. Н., Кулак Г. В. Дифракция световых пучков произвольной поляризации на объемных акустических волнах // Применение АО-методов и устройств в промышленности.—Л., 1984.
3. Задорин А. С., Шарангович С. Н. Поляризационные характеристики акустооптического взаимодействия волновых пучков в оптически изотропных средах // Изв. вузов. Физика.—Деп. в ВИНТИ 21.08.85, № 6219-85.
4. Задорин А. С., Шарангович С. Н. Преобразование корреляционных и поляризационных параметров светового излучения при акустооптическом взаимодействии в оптически изотропных средах // Оптика и спектроскопия.—1990.—69.—Вып. 1.
5. Eschler Hans. Performance limits of acoustooptic light deflector due to thermal effects // Appl. Phys.—1976.—9, N 2.—P. 289.
6. Магдич Л. Н., Молчанов В. Я. Тепловые искажения поля дифрагированного излучения в акустооптических модуляторах // ЖТФ.—1978.—48, № 12.
7. Fox A. J. Thermal design for germanium acoustooptic modulators // Appl. Opt.—1987.—26.—P. 872.
8. Коваленко Е. С., Романов С. И. Дифракция света на ультразвуковых волнах в оптически неоднородной анизотропной среде // Межвуз. сб. науч. тр. ЛИАП.—Л., 1987.—Вып. 140.
9. Симакон А. Н., Тавасиев А. Ф., Калухов В. А., Торгашин А. Н. Исследование тепловых потерь в акустооптических устройствах // Акустооптические устройства.—Л., 1989.
10. Белянин Ю. П., Меньшиков В. В. и др. Метод расчета брэгговской дифракции света на ультразвуке в среде с тепловыми возмущениями показателя преломления.—Харьков, 1987.—Деп. в Укр. НИИЦНТИ 13.01.87, № ГАСНТИ 27419.
11. Moharam M. G., Gaylord T. K., Magnisson R. Bragg diffraction of finite beams by thick gratings // JOSA.—1980.—70, N 3.—P. 300.
12. Кушнарев И. Н., Шарангович С. Н. Акустозлектрооптическое взаимодействие в кристаллах с электроиндуцированной неоднородностью // ЖТФ.—1992.—62.—Вып. 1.
13. Никифоров А. Ф., Уваров В. Б. Специальные функции математической физики.—М.: Наука, 1984.
14. Курант Р. Уравнения с частными производными.—М.: Мир, 1964.
15. Федоров Ф. И. Оптика анизотропных сред.—Минск, 1958.

Поступила в редакцию 6 июня 1992 г.